

Multivariační metody v taxonomii

Karol Marhold

kontakt:

karol.marhold@savba.sk

prezentácie dostupné na:

<https://botany.natur.cuni.cz/brassiploidy>

Fenetický prístup (multivariačné metódy; “pattern”; zhľuková analýza, ordinačné metódy, diskriminačná analýza)

Kladistický prístup (parsimonická analýza)

Alternatívne prístupy k rekonštrukcii fylogenézy
(metóda spájania susedných objektov – *neighbour joining method*; metódy najväčšej pravdepodobnosti – *maximum likelihood*; Bayesovské metódy – *Bayesian statistical methods*)

Geometrická morfometria (Booksteinove súradnice tvaru,
Prokrustova analýza, metóda ohybných pásiek - *thin plate spline*)

Softvér: MorphoTools2, SYN-TAX 2000,
[PAUP* version 4.0, beta version 10 (<http://paup.csit.fsu.edu/>),
ďalší špecializovaný softvér]

Fenetický prístup

Michel Adanson (1727-1806)

Familles des Plantes (1763)

65 rôznych klasifikácií,
založených vždy na jednom
znaku (napr. placentácia, typ
súkvetia ...)

P R E F A C E		Tables
35. Blitac.	32. Q. Pourpier.	16. Orchis.
17 ^e CLASSE.	42. Q. Rosier.	17 ^e Aristoloches.
<i>Etimines sur le Calice & sur l'Ovre etamines sur l'Ovre etamines sur l'Ovre.</i>		18 ^e CLASSE.
36. Elegans.	9. 4 Jeasubres.	19 ^e CLASSE.
37. Oenopt.	11. 11 Aristoloches.	<i>Etimines sur le fil de l'Ovre.</i>
38. Minet.	19. CLASSE.	20 ^e CLASSE.
39. Orobanch.	Etamines sur le fil de l'Ovre.	<i>Etimines sur la Corolle.</i>
40. Chamaefouille.		9. 10 Jeasubres.
		11. Composit.
		12. Campanul.
		13. Brion.
		14. Apocyn.
		15. Scabieuse.
		16. P. Chevrefeuille.
		17. M. Althea.
		18. Agnates.
		19. Bartschea.
		20. Labiat.
		21. Verbenae.
		22. Persicées.
		23. Solanaceae.
		24. Jasminae.
		25. Anagallis.
		26. Q. Pourpier.
		27. Q. Joubard.
		28. Q. Alliae.
		29. Système. Etamines ; leur figure respective.
		3 ^e CLASSE.
		31. Chamaefouille.
		32. Althea.
		33. 26 Apocyn.
		34. Bartschea.
		35. Labiat.
		36. Verbenae.
		37. Persicées.
		38. Solanaceae.
		39. Jasminae.
		40. Anagallis.
		41. Q. Pourpier.
		42. Q. Joubard.
		43. Q. Alliae.
		44. 30 CLASSE.
		<i>Etimines réunies toutes ensemble par les filets en un faisceau.</i>
		45. 1 Légumineuse.
		46. 2 Cucurbit.
		47. 3 Cistic.
		48. 4 CLASSE.
		<i>Etimines réunies par les antères seulement.</i>
		49. 5 Ficus.
		50. 6 Palmiers.
		51. 7 Liliac.
		52. 8 Aristoloches.
		53. 9 Jaspe.
		54. 10 Amarares.
		55. 11 Euphorbes.
		56. 12 Légumineus.
		57. 13 Pistachies.
		58. 14 Tiliaceae.
		59. 15 Gommier.
		60. 16 Maures.
		61. 17 Capriac.
		62. 18 Piss.
		63. 19 Compot.
		64. 20 Campanulae.
		65. 21 Bionac.
		66. 22 Apocyn.
		67. 23 Solanac.
		68. 24 Pavac.
		69. 25 CLASSE.
		<i>Etimines réunies par les filets en 2 corps.</i>
		70. 26 Légumineus.
		71. 27 Agnates.
		72. 28 Bartschea.
		73. 29 Labiat.
		74. 30 Persicées.
		75. 31 Solanac.
		76. 32 Liliac.
		77. 33 Anagallis.
		78. 34 Jasminae.
		79. 35 Q. Pourpier.
		80. 36 Q. Joubard.
		81. 37 Q. Alliae.
		82. 38 CLASSE.
		<i>Etimines réunies par les filets en les antères ensemble.</i>
		83. 39 Légumineus.
		84. 40 Agnates.
		85. 41 Bartschea.
		86. 42 Labiat.
		87. 43 Persicées.
		88. 44 Solanac.
		89. 45 Liliac.
		90. 46 Anagallis.
		91. 47 Jasminae.
		92. 48 Q. Pourpier.
		93. 49 Q. Joubard.
		94. 50 Q. Alliae.

Fenetický prístup

Department of Entomology, University of Kansas, Lawrence, U.S.A.

Michener, Ch.D. & Sokal, R.R. 1957. A quantitative approach to a problem in classification. *Evolution* 11: 130-162.

Department of Microbiology, University of Leicester, U.K.

Sneath, P.H.A. 1957. Some thoughts on bacterial classification. *J. Gen. Microbiol.* 17: 184-200.

Sokal, R.R. & Sneath, P.H.A. 1963. *Principles of numerical taxonomy*. W. H. Freeman and comp., San Francisco & London.

Sneath, P.H.A. & Sokal, R.R. 1973. *Numerical taxonomy, the principles and practice of numerical classification*. W. H. Freeman and comp., San Francisco.

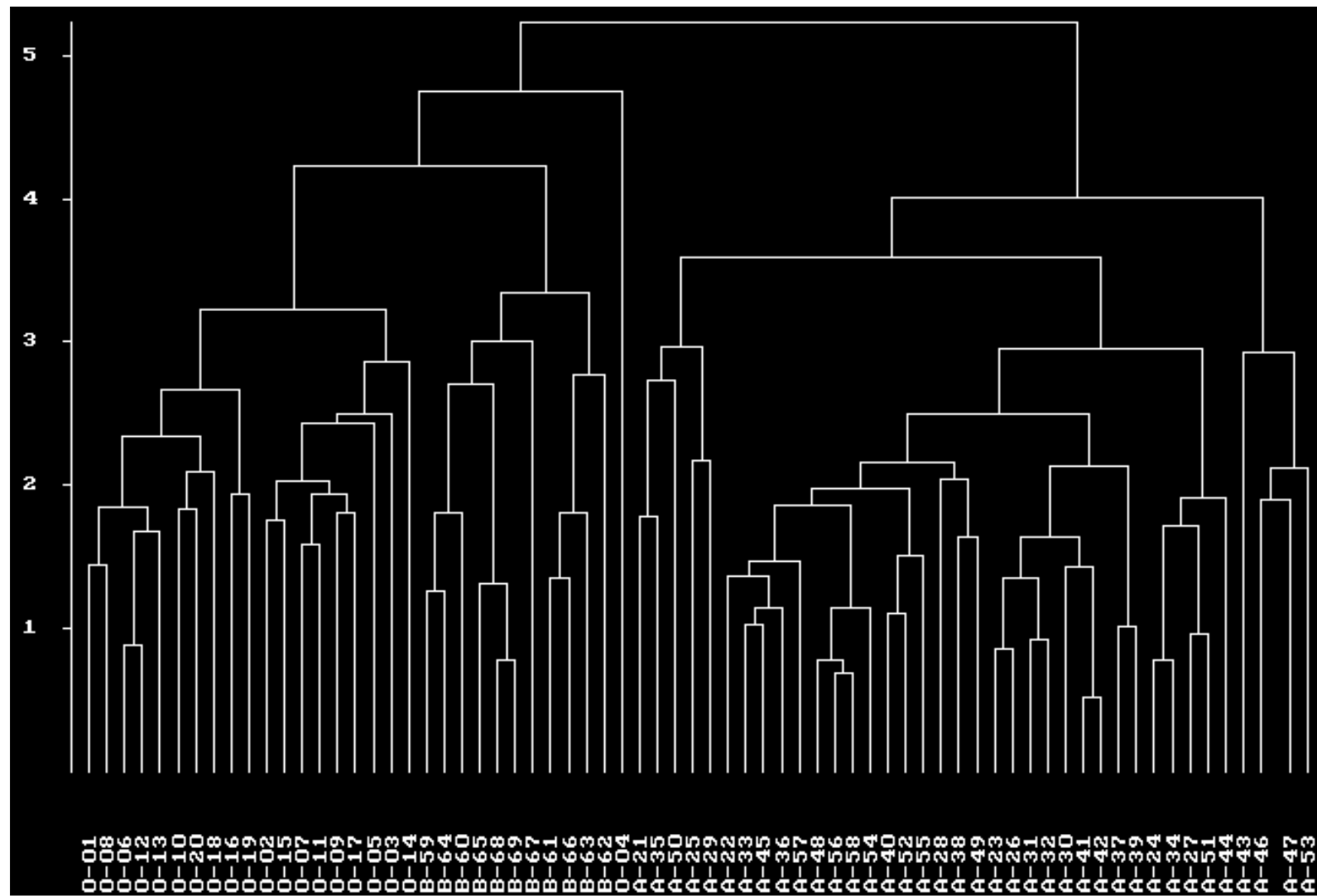
Neo-adansonovské princípy

- Čím väčší je **obsah informácie** v taxónoch a na čím väčšom počte znakov je klasifikácia založená, tým je táto klasifikácia lepšia.
- Každý **znak** má pri tvorbe taxónov **rovnakú váhu**.
- Celková **podobnosť** medzi akýmkoľvek dvomi jednotkami je funkciou podobností v jednotlivých znakoch.
- Taxóny sa rozoznávajú na základe toho, že sa **korelácie** medzi znakmi v rôznych skupinách líšia.
- **Úsudky o fylogénéze** sa môžu robiť z taxonomickej štruktúry skupiny a z korelácií medzi znakmi. Berú sa pritom do úvahy určité predpoklady (premisy) o evolučných cestách a mechanizmoch.
- Taxonómia sa považuje za **praktickú a empirickú vedu**.
- Klasifikácie sa zakladajú na **empirickej podobnosti**.

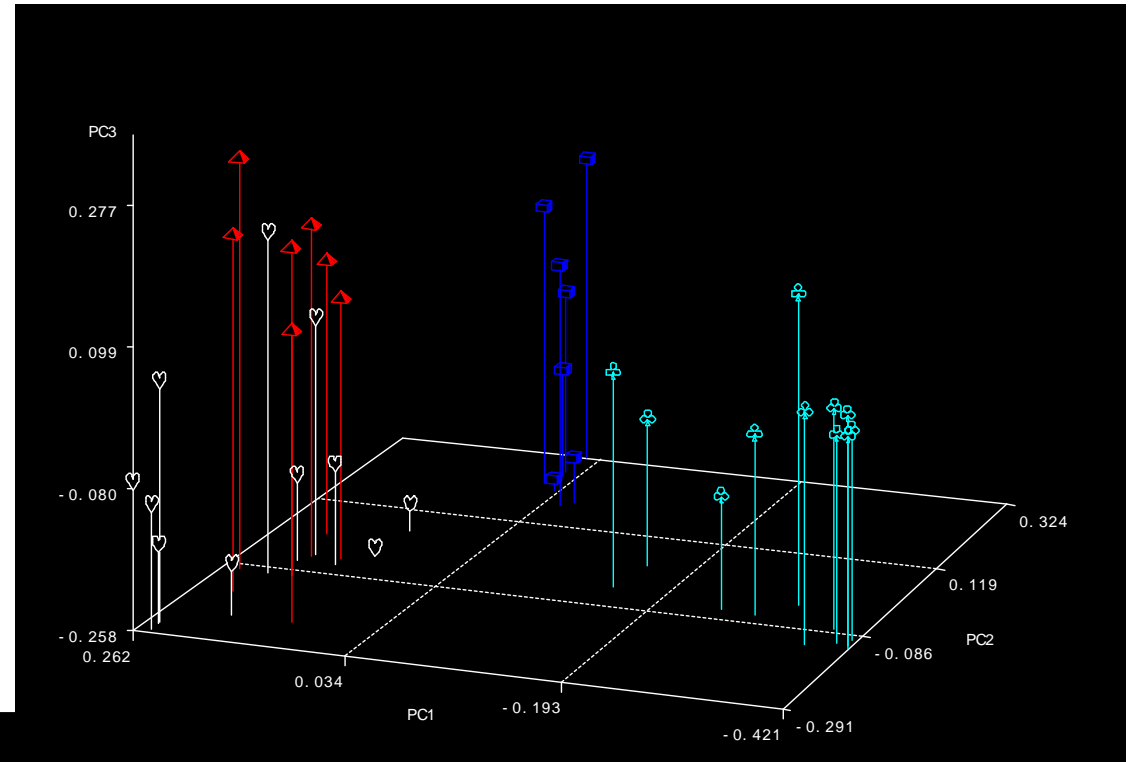
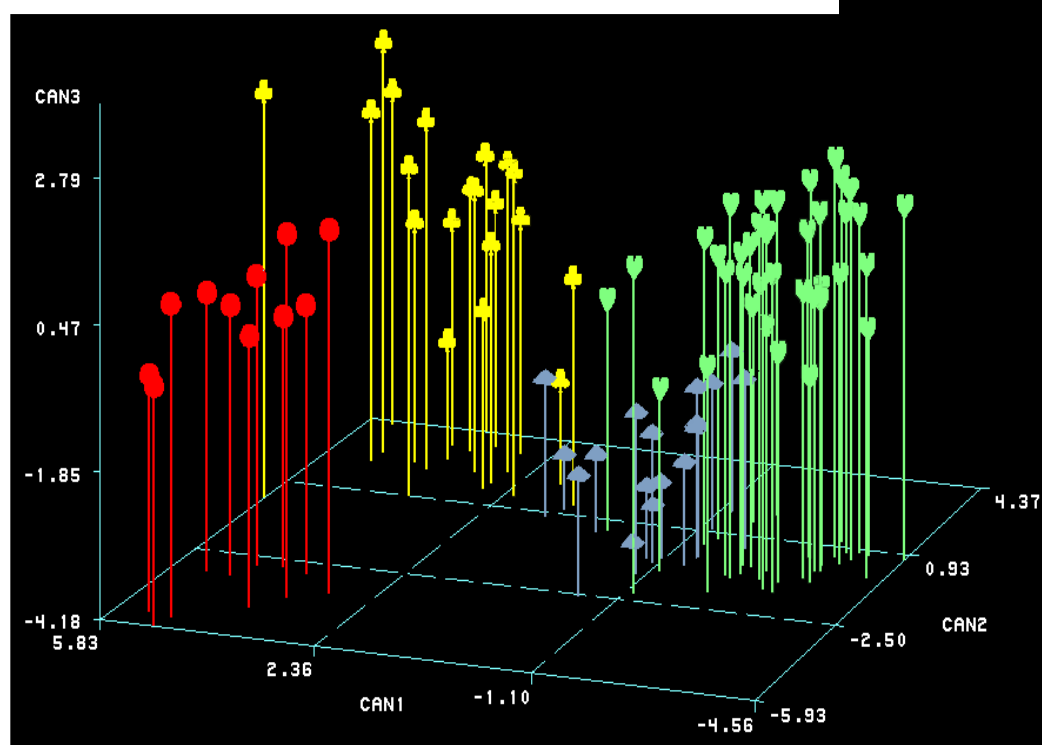
Fenetický prístup

- Termíny: numerical taxonomy (Sokal & Sneath), statistical systematics (Solbrig), numerical phenetics (Duncan & Baum), multivariate morphometrics (Blackith & Reyment)
- Operačné taxonomické jednotky (OTU)
- Znaky, primárna matica, počet znakov, korelácie
- Koeficienty vyjadrujúce vzťahy medzi znakmi alebo objektmi, sekundárna matica
- Multivariačné metódy (zhlukovacie metódy, ordinačné metódy, diskriminačná analýza)
- Rôzne metódy môžu priniesť rôzne výsledky
- Využitie metód v minulosti a v súčasnej taxonomickej praxi (infrašpecifická variabilita, polyploidné komplexy, štúdium morfologickej variability v rozsiahlych areáloch, molekulárne dátá)

Zhlukovacia analýza



Analýza hlavných komponentov



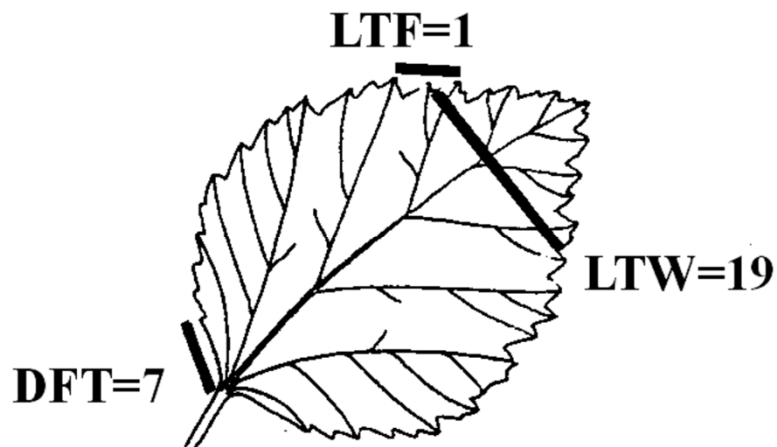
Kanonická
diskriminačná analýza

Klasifikačná diskriminačná analýza

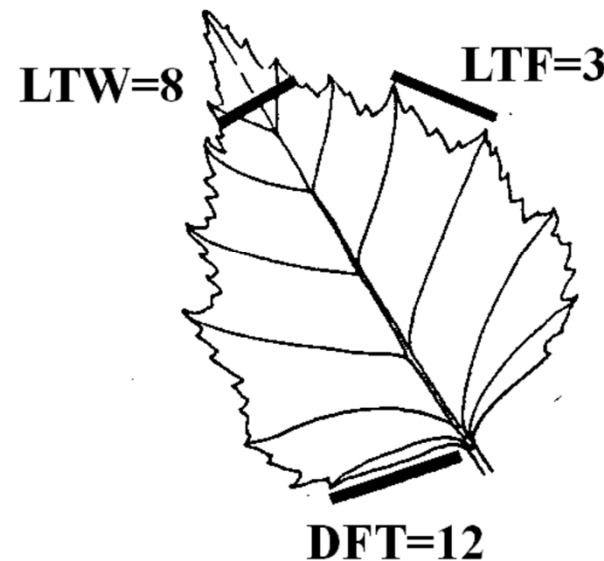
skupina príslušnosť rastlín k stanoveným skupinám predpovedaná na základe vytvoreného klasifikačného kritéria (absolútny počet a percento rastlín klasifikovaných do jednotlivých skupín)

	amara	astr.	olot.	opicii	pyren.	Celkom
amara	349	20	3	1	7	380
	91.84	5.26	0.79	0.26	1.84	100.00%
austriaca	51	302	1	6	8	368
	13.86	82.07	0.27	1.63	2.17	100.00%
olotensis	2	0	99	0	0	101
	1.98	0.00	98.02	0.00	0.00	100.00%
opicii	1	9	0	326	42	378
	0.26	2.38	0.00	86.24	11.11	100.00%
pyrenaea	1	11	0	19	207	238
	0.42	4.62	0.00	7.98	86.97	

B. pubescens = -35



B. pendula = +21



Diskriminačná funkcia na určenie druhov *Betula pubescens* a *B. pendula*

$$12\text{LTF} + 2\text{DFT} - 2\text{LTW} - 23$$

kladné hodnoty *B. pendula*

záporné hodnoty *B. pubescens*

pravdepodobnosť správneho určenia 93%

(Stace, C. A., 1991, New Flora of the British Isles)

Marhold, K. & Suda, J. 2002: *Statistické zpracování mnohorozměrných dat v taxonomii*. Karolinum, Praha.

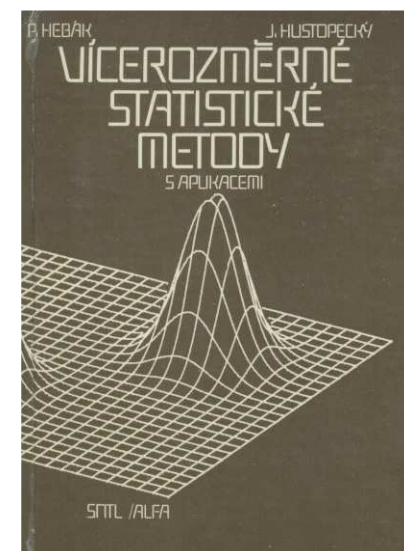


Hebák, P. & Hustopecký, J. 1987: *Vícerozměrné statistické metody s aplikacemi*. SNTL – nakladatelství technické literatury, Alfa, vydavatelstvo technickej a ekonomickej literatúry, Praha.

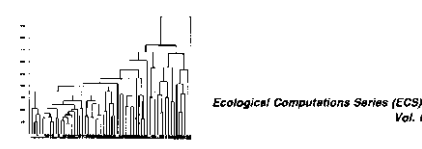
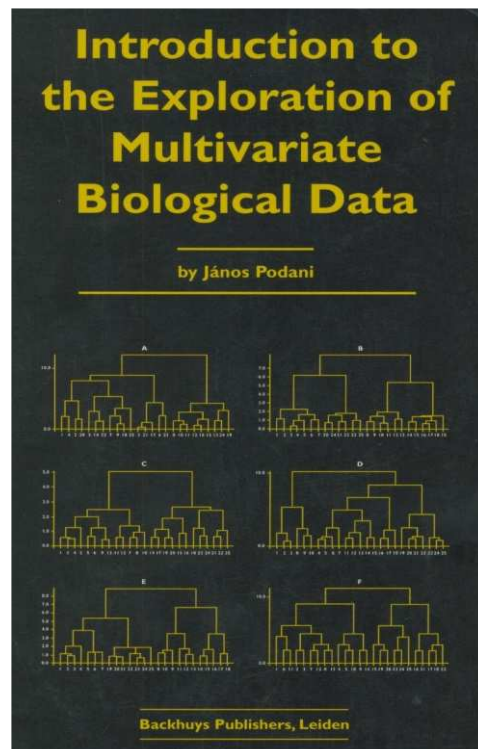
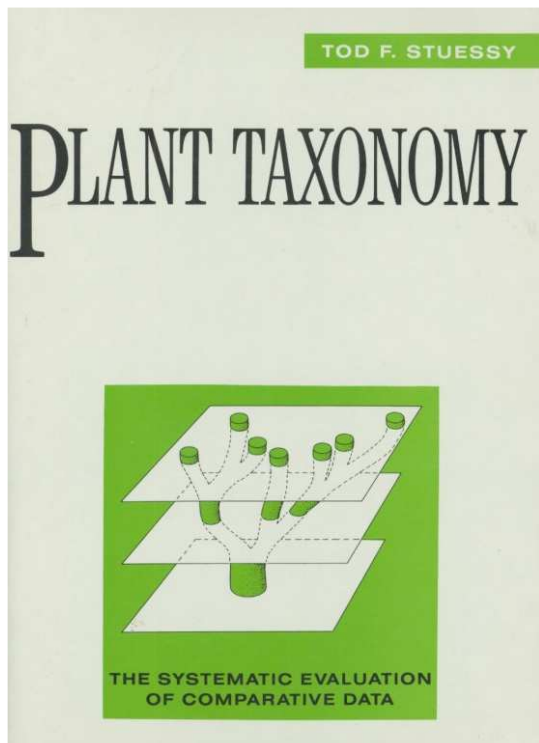
Hebák, P., Hustopecký, J., Jarošová, E. & Pecáková, I. 2007. *Vícerozměrné statistické metody (1)*. Ed. 2. Informatorium, Praha.

Hebák, P., Hustopecký, J. & Malá, I. 2005. *Vícerozměrné statistické metody (2)*. Informatorium, Praha.

Hebák, P., Hustopecký, J., Pecáková, I., Průša, M., Řezanková, H., Svobodová, A. & Vlach, P. 2007. *Vícerozměrné statistické metody (3)*. Ed. 2. Informatorium, Praha.



- Legendre, P. & Legendre, L. 1998. *Numerical ecology*. Second English edition. Elsevier, Amsterdam.
- Podani, J. 1994. *Multivariate data analysis in ecology and systematics*. SPB Academic Publishing bv, The Hague.
- Podani, J. 2000. *Introduction to the exploration of multivariate biological data*. Backhuys Publishers, Leiden.
- Stuessy, T. F. 1990. *Plant taxonomy: the systematic evaluation of comparative data*. Columbia University Press, New York.

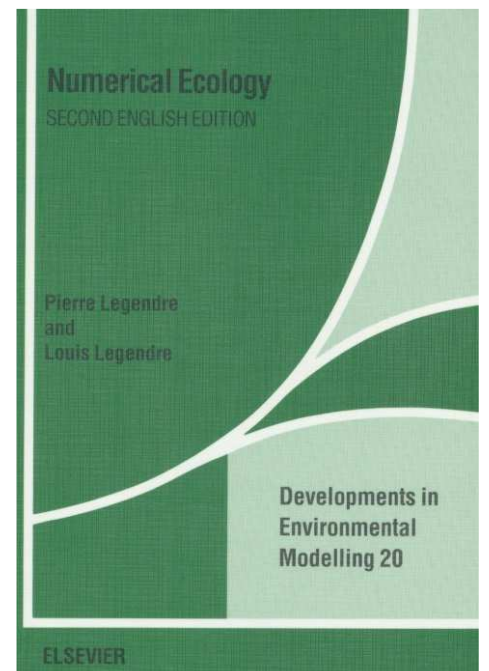


**MULTIVARIATE DATA
ANALYSIS IN ECOLOGY
AND SYSTEMATICS**

- A methodological guide to the SYN-TAX 5.0 package

In memory of my mentor, P. Juhasz-Nagy

János Podani
SPB Academic Publishing bv



Kladistický prístup

Hennig, W.

1950: *Grundzüge einer Theorie der phylogenetischen Systematik*. Deutsche Zentralverlag, Berlin.

1965: Phylogenetic systematics. *Annual Review of Entomology* 10: 97-116.

1966: *Phylogenetic systematics*. University of Illinois Press, Urbana.

Botanika:

Koponen, T., 1968: Generic revision of Mniaceae Mitt. (Bryophyta). *Ann. Bot. Fenn.* 5: 117-151.

Funk, V. & Stuessy, T. F. 1978: Cladistics for practicing plant taxonomist. *Syst. Bot.* 3: 159-178.

Bremer, K. & Wantorp, H.- E. 1978: Phylogenetic systematics in botany. *Taxon* 27: 317-329.

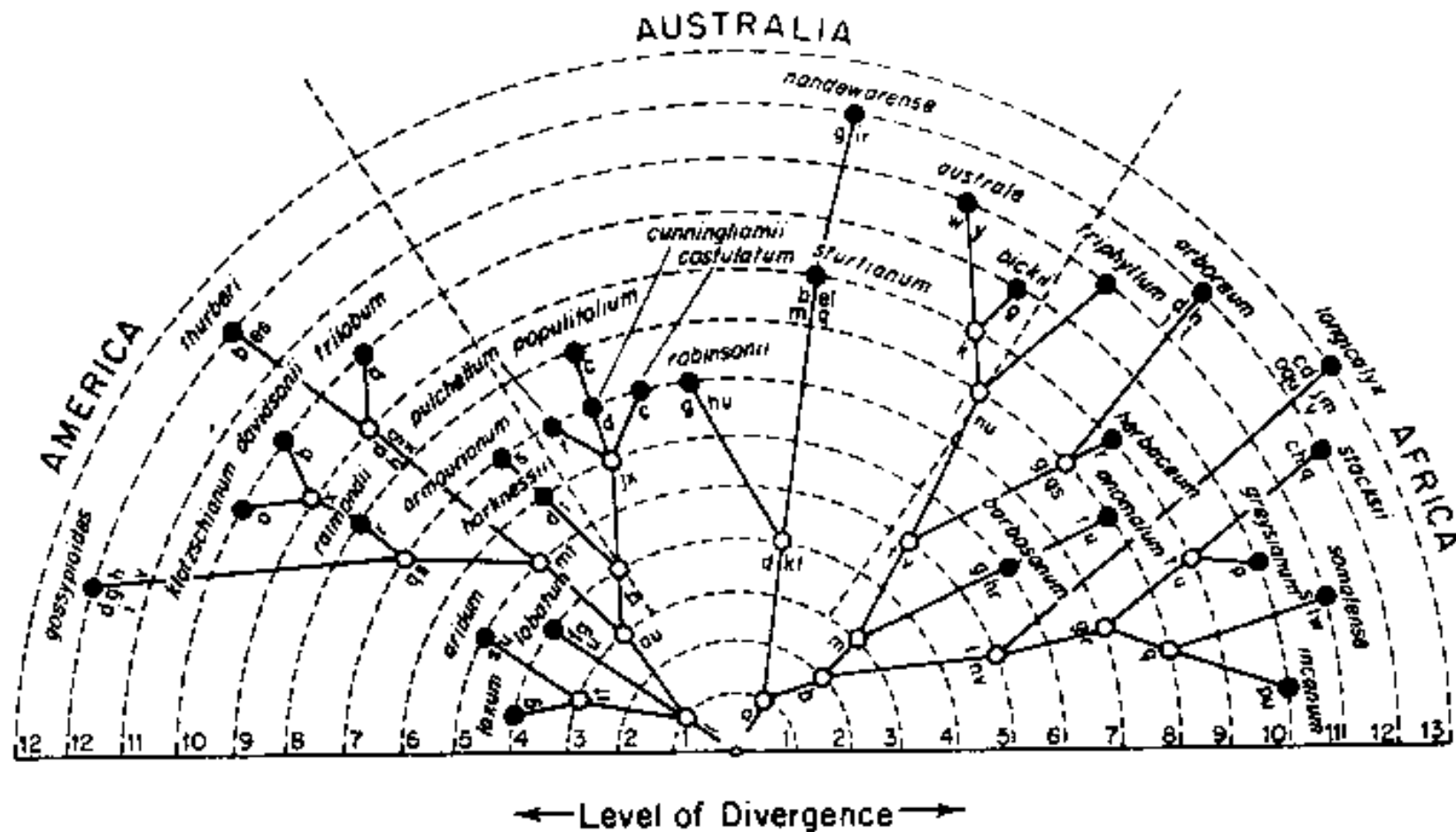


Fig. 2.17 Cladogram (Wagner tree) of 30 species of *Gossypium* (Malvaceae), modified from Frywell¹⁴².

W.H. Wagner, University of Michigan - Groundplan/divergence method

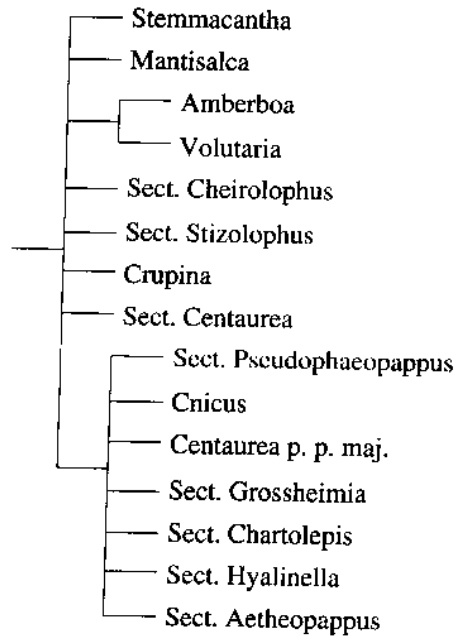


FIGURE 8-4. Strict consensus tree of six equally parsimonious cladograms of *Centaurea* sections and related genera based on cypselae characters from Dittrich (1966, pp. 138–139). The data matrix is given in Table 8-4.

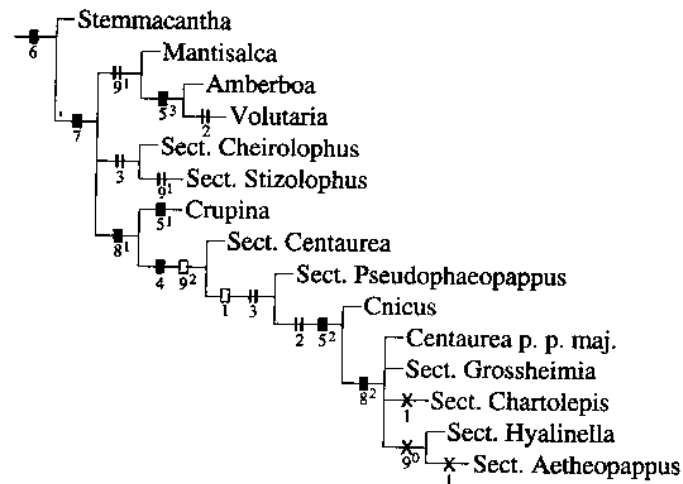


FIGURE 8-5. One of six equally parsimonious cladograms of *Centaurea* sections and related genera based on cypselae characters from Dittrich (1966, pp. 138–139). The characters are given in Table 8-3 and the data matrix in Table 8-4. Solid bars indicate nonhomoplastic synapomorphies; open bars indicate homoplastic synapomorphies with reversals; double bars indicate parallelisms; crosses indicate reversals.

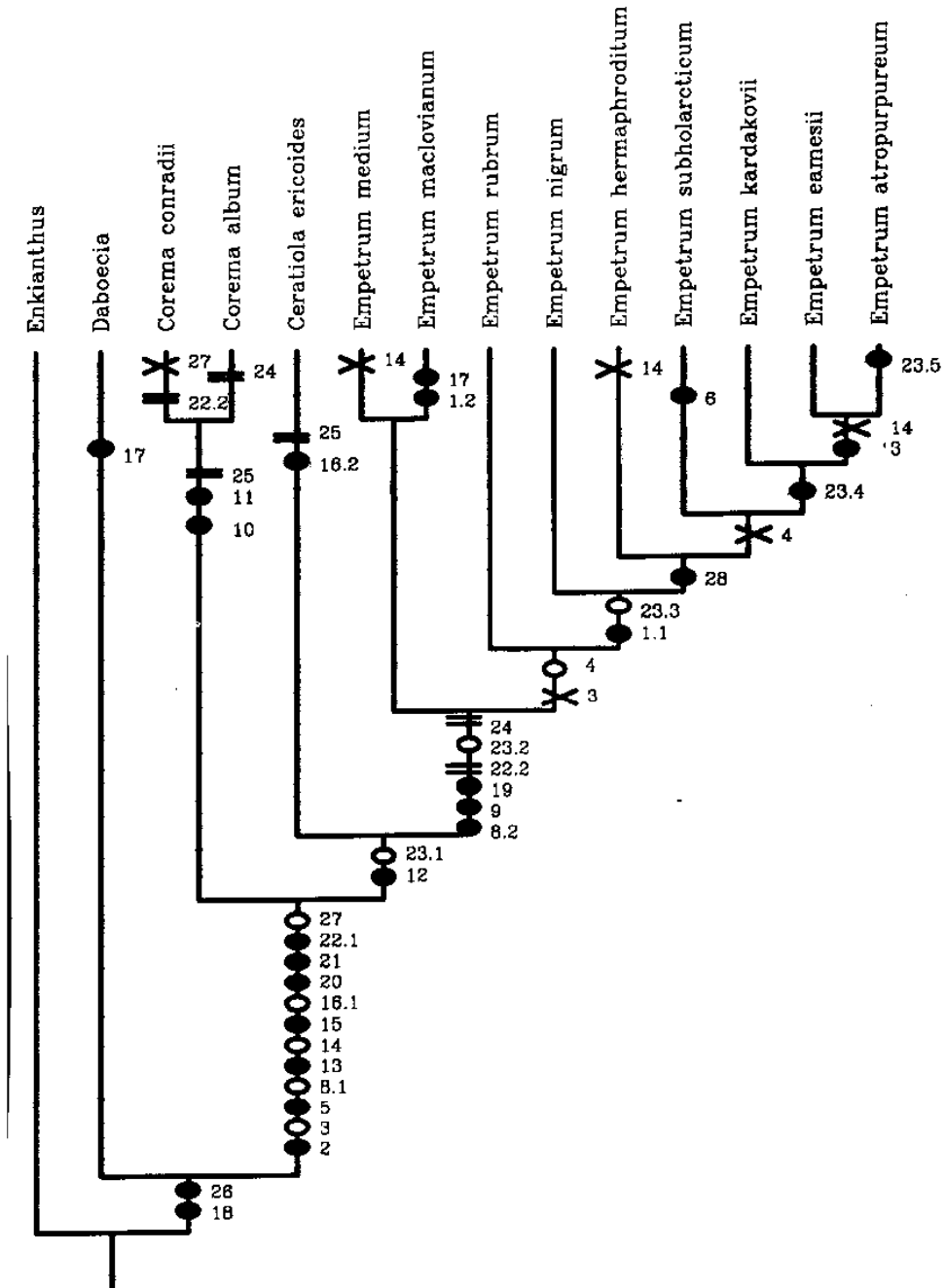
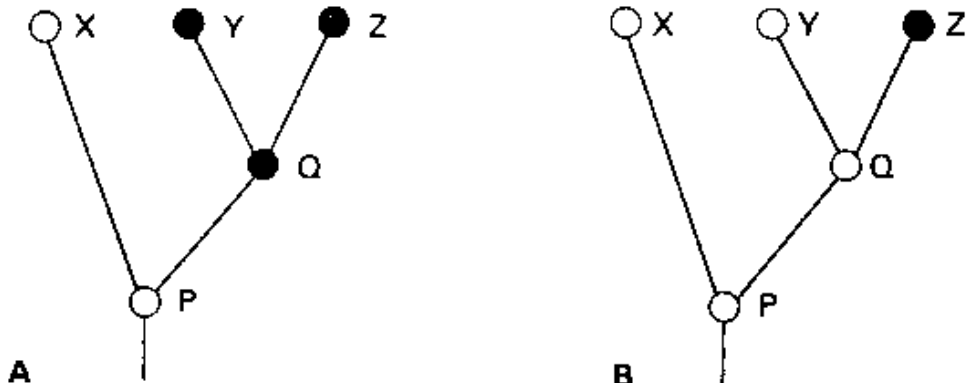
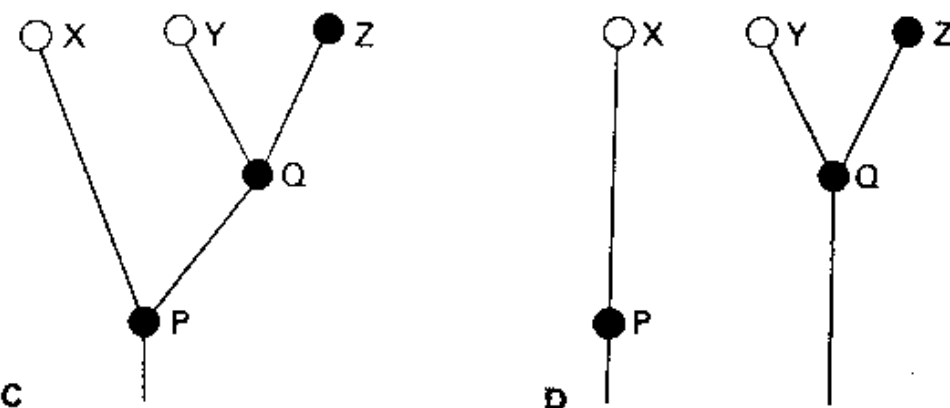


FIG. 2. One of five equally parsimonious cladograms of the Empetraceae. *Enkianthus* and *Daboecia* are outgroup taxa. Characters are numbered in accordance with the text, Appendix 1, and with Table 1. Black dots = synapomorphies ($ci = 1$), white dots = synapomorphies ($ci < 1$), parallel lines = parallelisms, crosses = reversals.

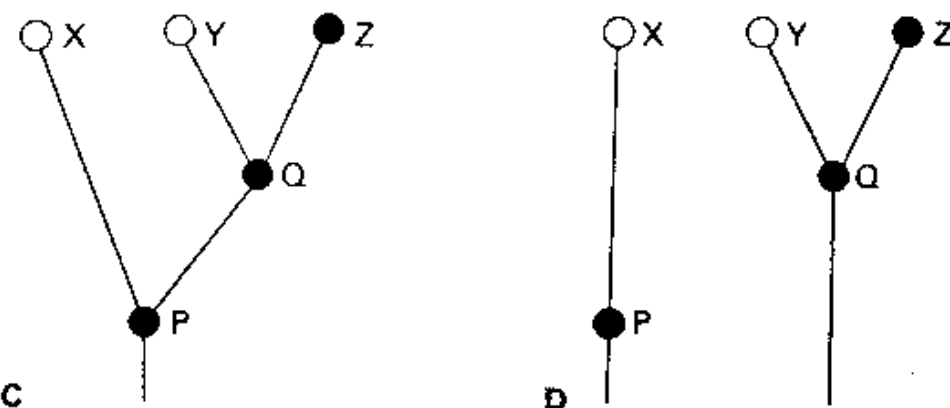
**A Y-Z, X-Y-Z
monofyletické skupiny**



**B X-Y parafyletická
skupina**



**C X-Y polyfyletická
skupina, paralelizmus**



**D X-Y polyfyletická
skupina, konvergencia**

Fig. 2.6 Four diagrams showing different origins of three species (X, Y, Z) from the ancestral taxa P and Q in order to illustrate the concepts of monophyly, paraphyly, polyphyly, parallelism and convergence. The possession of one or other of two contrasting character-states by each of the five taxa is indicated by an open or closed circle respectively. **A.** Groups YZ and XYZ are both monophyletic; the similarity between Y and Z is a synapomorphy; the difference between X and YZ is due to divergence. **B.** Group XY is paraphyletic; group XYZ is monophyletic; the similarity between X and Y is a symplesiomorphy; the difference between Y and Z is due to divergence. **C.** Group XY is polyphyletic; group XYZ is monophyletic; the similarity between X and Y is a false synapomorphy caused by parallelism. **D.** Groups XY and XYZ are both polyphyletic; group YZ is monophyletic; the similarity between X and Y is a false synapomorphy caused by convergence.

Primitívny stav znaku

Pleziomorfia

Sympleziomorfia

Odvodený stav znaku

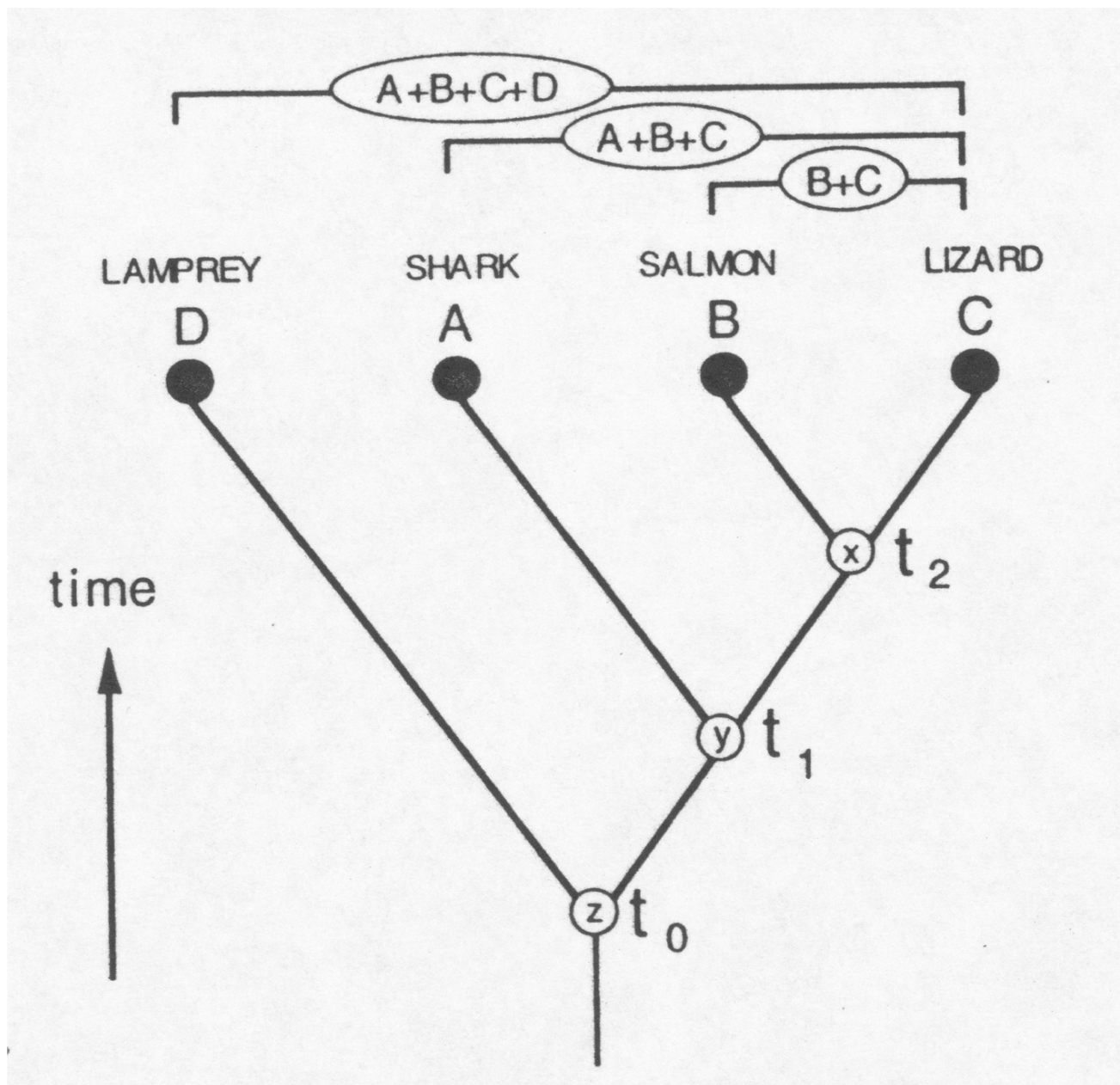
Apomorfia

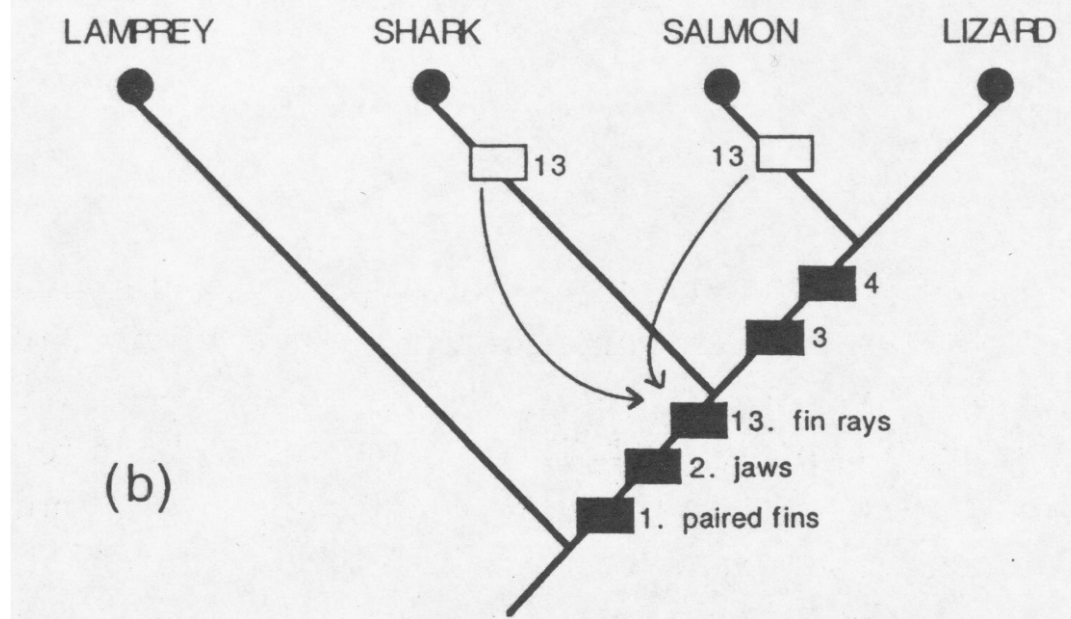
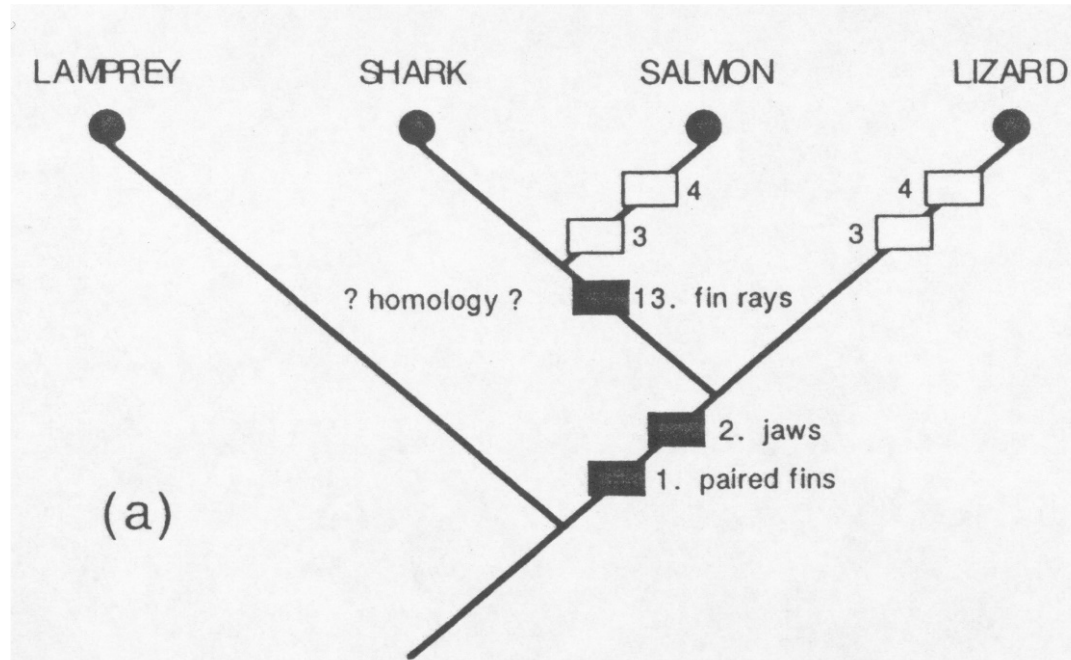
Autapomorfia

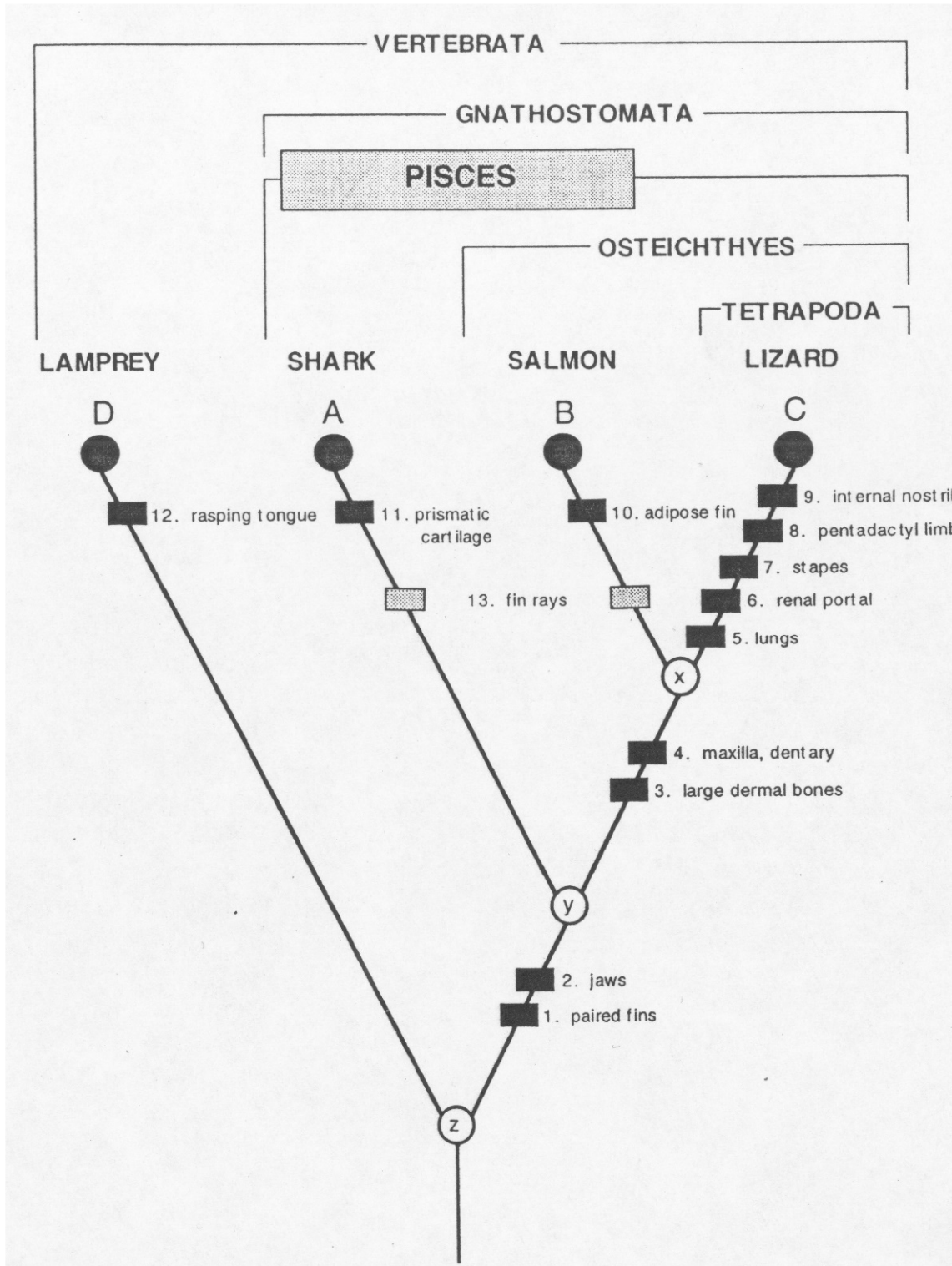
Synapomorfia

Homoplázia = konvergencia + paralelizmus

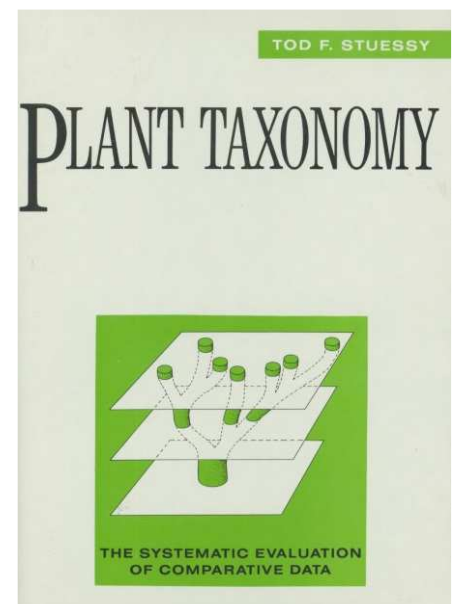
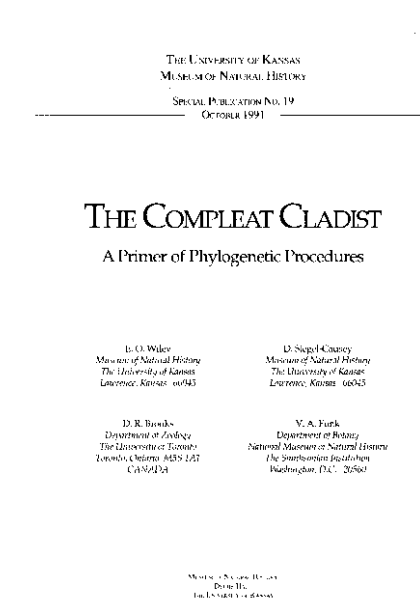
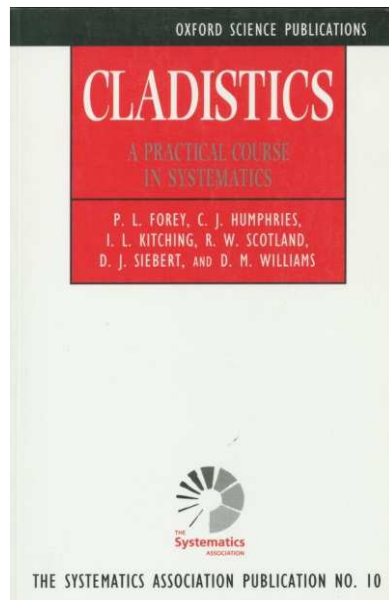
Mimoskupinové porovnanie (outgroup comparison)





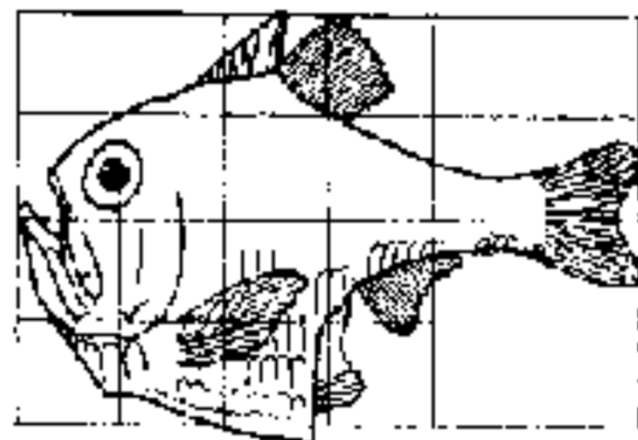


- Forey, P.L., Humphries, C.J., Kitching, I.J., Scotland, R.W., Siebert, D.J. & Williams, D.M., 1992. *Cladistics. A practical course in systematics*. Clarendon Press, Oxford.
- Kitching, I.J., Forey, P.L., Humphries, C.J. & Williams, D.M., 1998. *Cladistics. The theory and practice of parsimony analysis*. Ed. 2. Oxford University Press, Oxford.
- Stuessy, T. F. 1990. *Plant taxonomy: the systematic evaluation of comparative data*. Columbia University Press, New York.
- Wiley, E.O., Siegel-Causey, D., Brooks, D.R. & Funk, V.A. 1991. *The compleat cladist, a primer of phylogenetic procedures*. The University of Kansas, Museum of Natural History, Lawrence.
- K dispozícii na www stránke: <http://nhm.ku.edu/cc.html>

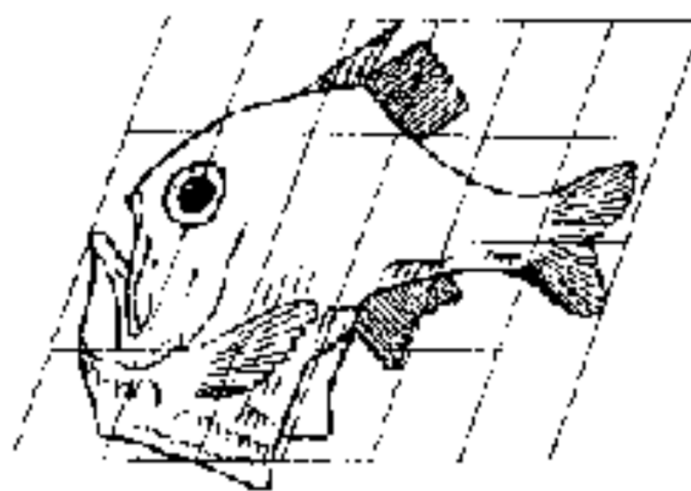


Geometrická morfometrika

Thompson, A. W. 1917. *On growth and form.* Cambridge University Press, Cambridge.

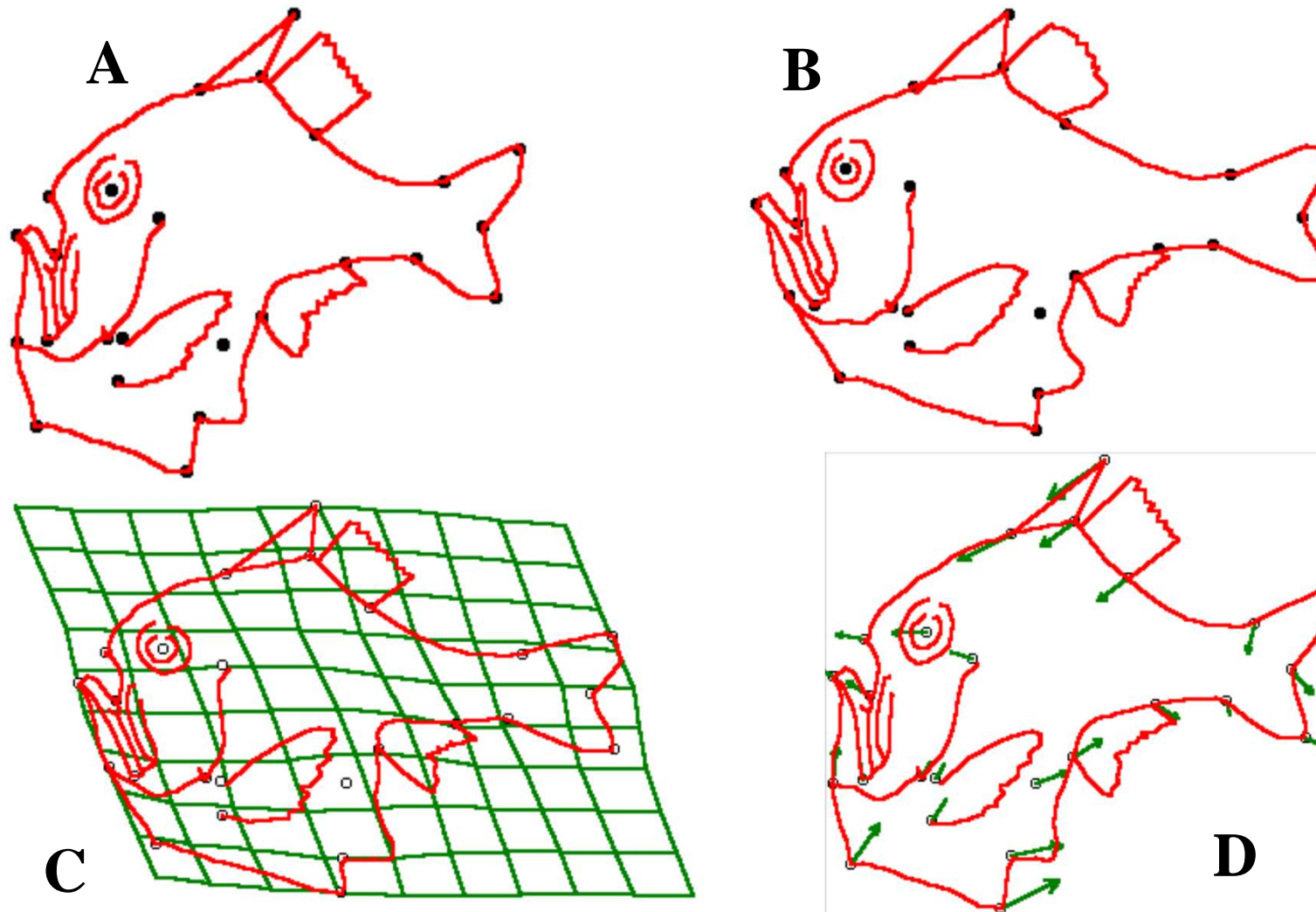


Argyropelecus olfersi.



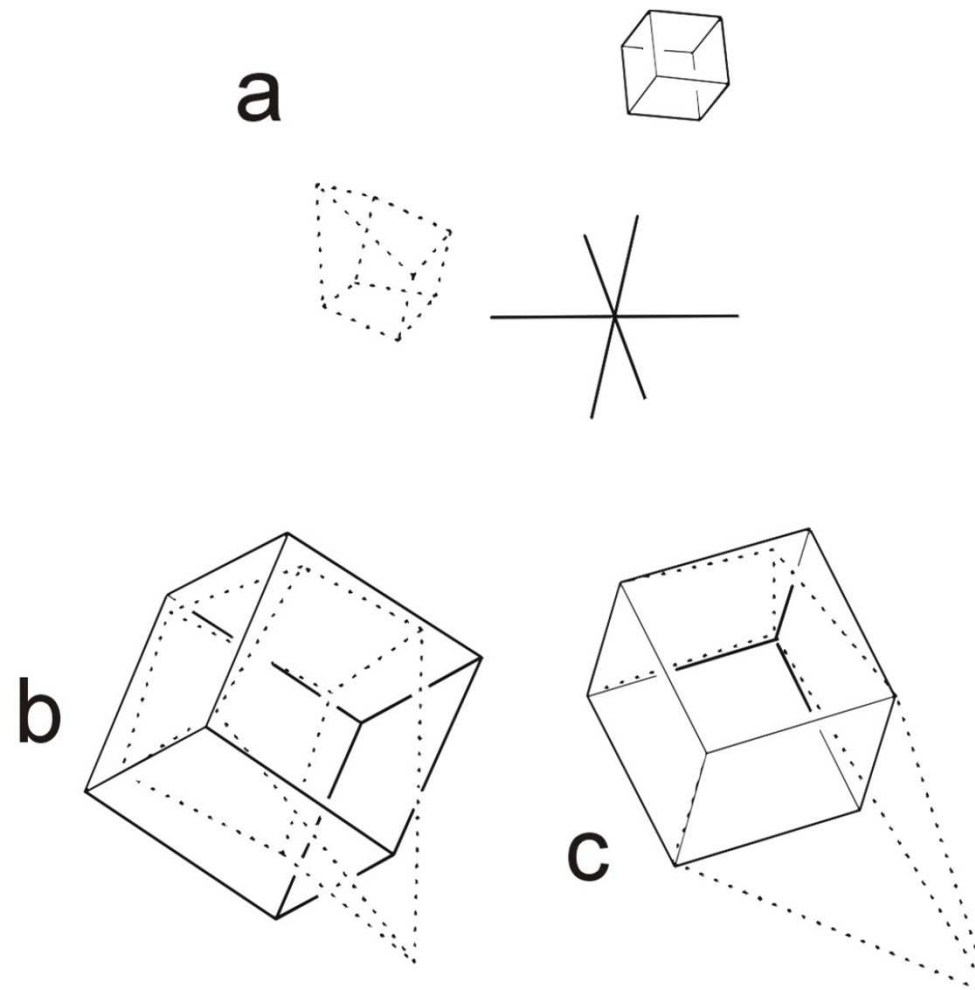
Sternopyx diaphana.

Geometrická morfometria



Vzájomné vztahy tvarov druhov *Stenoptyx diaphana* (A) a *Argyropelecus olfersi* (B) – vzorové dátá z programu tpsSpline (<http://life.bio.sunysb.edu/morph/>), C – zobrazenie celkovej transformácie pomocou ohybnej pásky (*thin-plate spline*), D – to isté vyjadrené pomocou vektorov

Geometrická morfometria



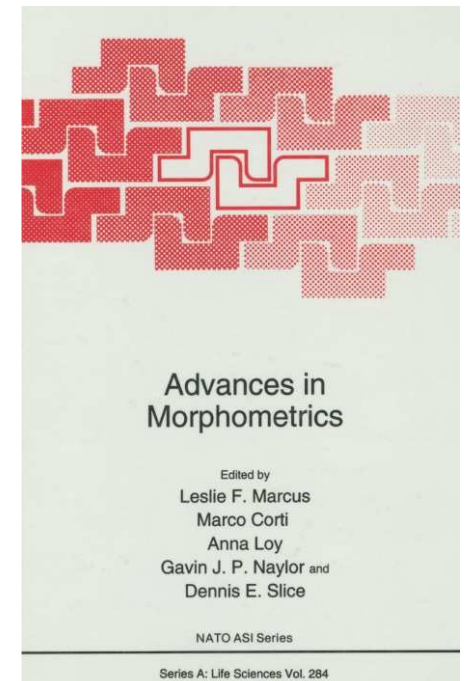
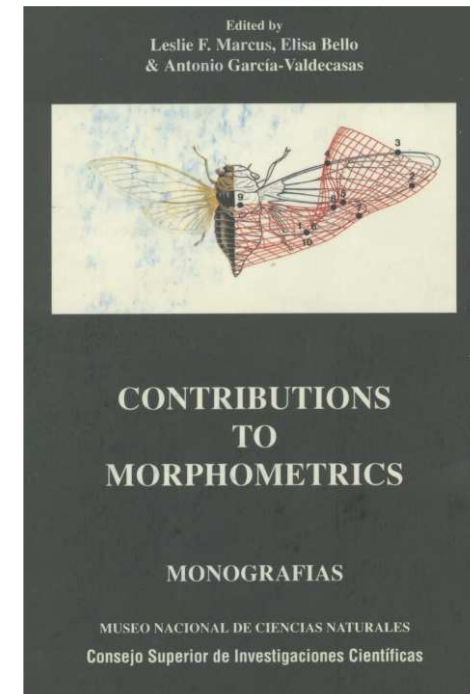
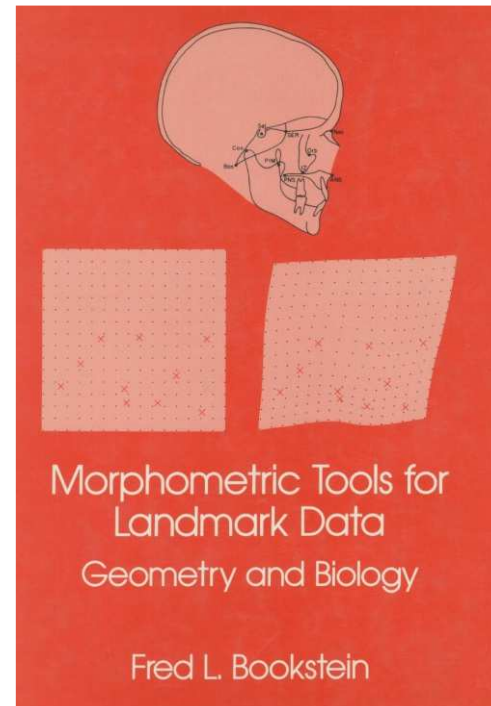
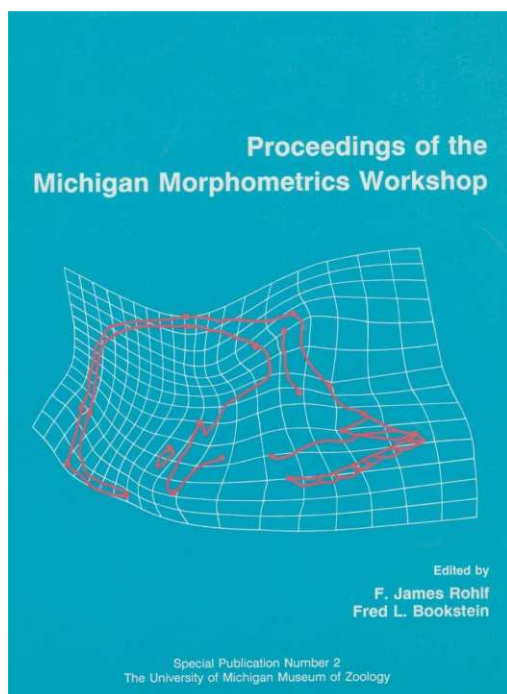
Prokrustova analýza. a – konsenzuálna konfigurácia plnou čiarou, jednotlivý objekt bodkovane; b – superpozícia metódou GLS (rozdíely v pozícii zodpovedajúcich význačných bodov sú porovnatel'né); c – superpozícia metódou rezistentného prispôsobenia (objekty sa výrazne líšia v pozícii jediného bodu)

Rohlf, F.J. & Bookstein, F.L., eds., 1990. Proceedings of the Michigan morphometric workshop. *Special Publ. No. 2, The University of Michigan Museum of Zoology*. [Blue book]

Bookstein, F.L. 1991. *Morphometric tools for landmark data: geometry and biology*. Cambridge University Press, New York. [Red book]

Marcus, L.F., Bello, E. & García-Valdecasas, A., eds., 1993. *Contributions to morphometrics*. Museo Nacional de Ciencias Naturales, Madrid. [Black book]

Marcus, L.F., Corti, M., Loy, A., Naylor, G.J.P. & Slice, D.E., eds., 1996. Advances in morphometrics. *NATO ASI Series A: Life Sciences 284*. [White book]



Macleod, N & Forey, P. 2002. *Morphology, shape and phylogeny*. Taylor and Francis, London, New York.

Macholán, M. 1999. Prokrustes, deformace a nová morfometrie. *Vesmír* 78: 35-39.